



Hans-Joachim Gehrmann¹, Manuela Hauser¹, Hartmut Mätzing¹, Krasimir Aleksandrov¹, Dieter Stapf¹, Manuela Wexler¹, Daniel Pigeon²

¹Institut für Technische Chemie (ITC); ²W.L. Gore & Associates, Inc., Elkton, MD 21901, USA

AUSGANGSLAGE

The screenshot shows the Greenpeace homepage with a banner at the top. Below it, a section titled "CHEMIE IN TEXTILien" features the headline "ZEIT ZU ENTGIFTEN!". It discusses how more than 90% of clothing comes from Asia and how the textile industry pollutes rivers. Another section, "WIR HABEN GENUG!", highlights a global campaign where 79 major brands have committed to replacing harmful substances by 2020. A sidebar on the left shows social media sharing icons.

Quelle: <https://www.greenpeace.de/kampagnen/detox>

Ein Artikel von Michael Welland | 06.02.2017

Greenpeace-Erfolg: Größter Ausrüster von Outdoor-Kleidung wird Branche verändern

GESCHAFT!

Mit gutem Beispiel voran: Outdoor-Ausrüster Gore Fabrics verzichtet künftig in der Herstellung auf gefährliche PFC. Greenpeace leistete jahrelang Überzeugungsarbeit.



Quelle: <https://www.greenpeace.de/themen/endlager-umwelt/textilindustrie/geschafft/>

Einbindung externer Expertise in einem Beirat von Interessensvertretern

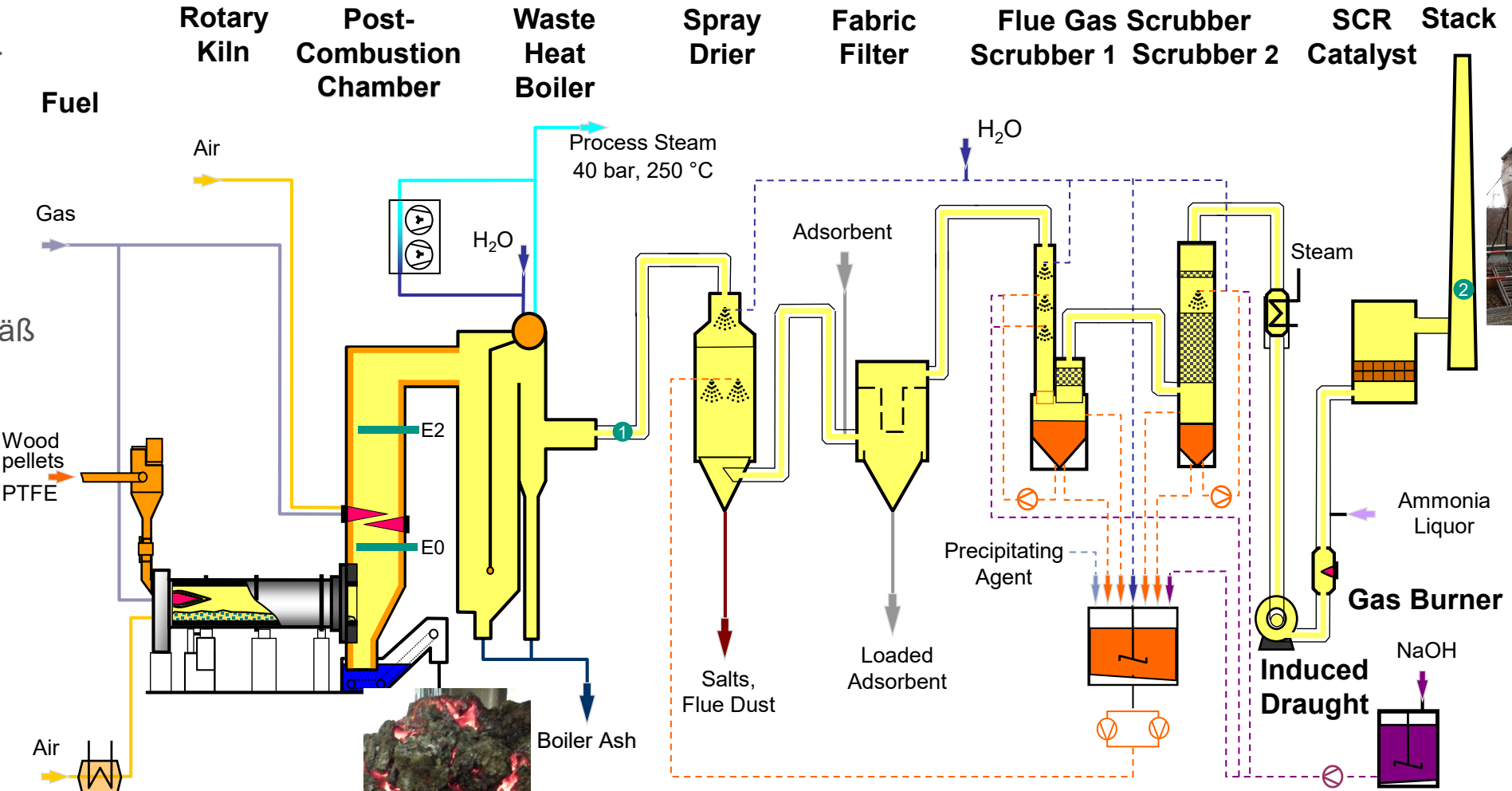
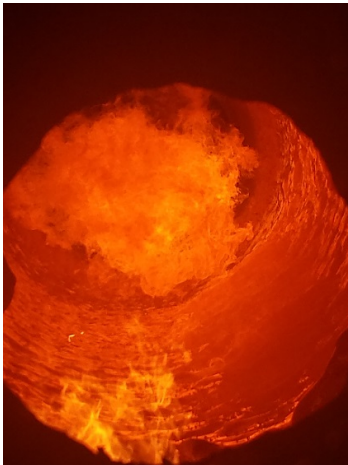
LISTE DER UNTERSUCHTEN PFAS*

Compound	CAS Number	Abbreviation	Quantitation limit [µg/m ³]
Perfluorobutanoic acid	375-22-4	PFBA [PFC C4]	6
Perfluoropentanoic acid	2706-90-3	PFPeA [PFC C5]	0.3
Perfluorohexanoic acid	307-24-4	PFHxA [PFC C6]	0.3
Perfluoroheptanoic acid	375-85-9	PFHpa [PFC C7]	0.3
Perfluorooctanoic acid	335-67-1	PFOA [PFC C8]	0.3
Perfluorononanoic acid	375-95-1	PFNA [PFC C9]	0.3
Perfluorodecanoic acid	335-76-2	PFDA [PFC C10]	0.3
Perfluoroundecanoic acid	2058-94-8	PFUdA [PFC C11]	0.3
Perfluorododecanoic acid	307-55-1	PFDoA [PFC C12]	0.3
Perfluorotridecanoic acid	72629-94-8	PFTrDA [PFC C13]	0.3
Perfluorotetradecanoic acid	376-06-7	PFTeDA [PFC C14]	0.3
Perfluorobutanesulfonic acid	375-73-5	PFBS [PFS C4]	0.3
Perfluorohexanesulfonic acid	355-46-4	PFHxS [PFS C6]	0.3
Perfluoroheptanesulfonic acid	375-92-8	PFHpS [PFS C7]	0.3
Perfluoroctanesulfonic acid	1763-23-1	PFOS [PFS C8]	0.3
Perfluorodecanesulfonic acid	335-77-3	PFDS [PFS C10]	0.3
Perfluoroctanesulfonamide	754-91-6	PFOSA	0.3
N-Methyl- Perfluoroctanesulfonamide	31506-32-8	N-Me-FOSA	0.3
N-Ethyl- Perfluoroctanesulfonamide	4151-50-2	N-Et-FOSA	0.3
N-Methyl-Perfluorooctane- sulfon amidoethanol	24448-09-7	N-Me-FOSE alcohol	0.3
N-Ethyl-Perfluorooctane- sulfonamidoethanol	1691-99-2	N-Et-FOSE alcohol	0.3
1H,1H,2H,2H-Perfluoro- octanesulphonic acid	27619-97-2	1H, 1H, 2H, 2H- PFOS	0.3
2H,2H,3H,3H-Perfluoro- undecanoic acid	34598-33-9	4HPFU _n A	0.3
Perfluoro-3-7-dimethyl octane carboxylate	-	PF-3,7-DMOA	0.3
7H-Dodecafluoro heptane carboxylate	-	HPFHpA	6
2H,2H-Perfluoro decan carboxylate	-	H2PFDA	0.3
1H,1H,2H,2H-Perfluorohexan-1-ol	2043-47-2	4:2 FTOH	24
1H,1H,2H,2H-Perflourooctan-1-ol	647-42-7	6:2 FTOH	24
1H,1H,2H,2H-Perflurodecan-1-ol	678-39-7	8:2 FTOH	24
1H,1H,2H,2H-Perfluorododecan-1-ol	865-86-1	10:2 FTOH	24
Trifluoroacetic acid	76-05-1	TFA	0.4

*Per- und
Polyfluorierte
Alkylsubstanzen

VERSUCHSANLAGE

Thermische Gesamt-leistung: **2,5 MW**, verteilt auf Drehrohr mit **1,5 MW** und Nachbrennkammer mit **1,0 MW**
Abgasreinigung gemäß 17. BlmSchV



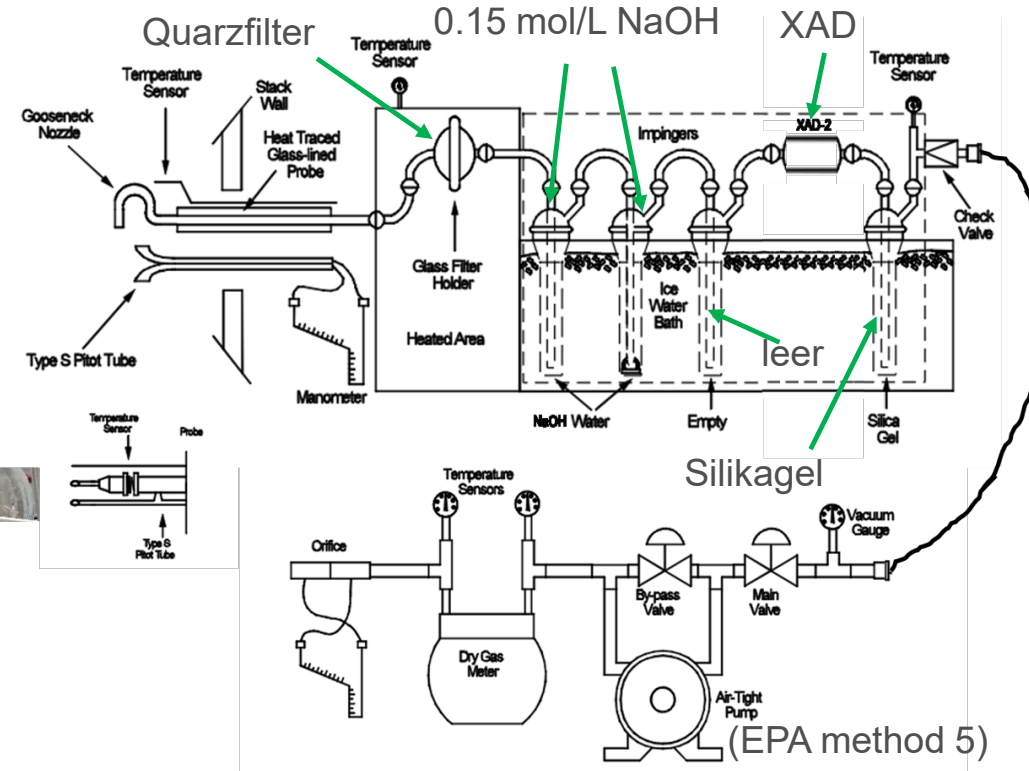
② Sample locations for HF and PFOAs as well as flue gas composition and flow measurement

MESSTECHNIK



Austausch von PTFE-haltigen
Dichtungen, Schläuche
durch Gummi und PE, PA

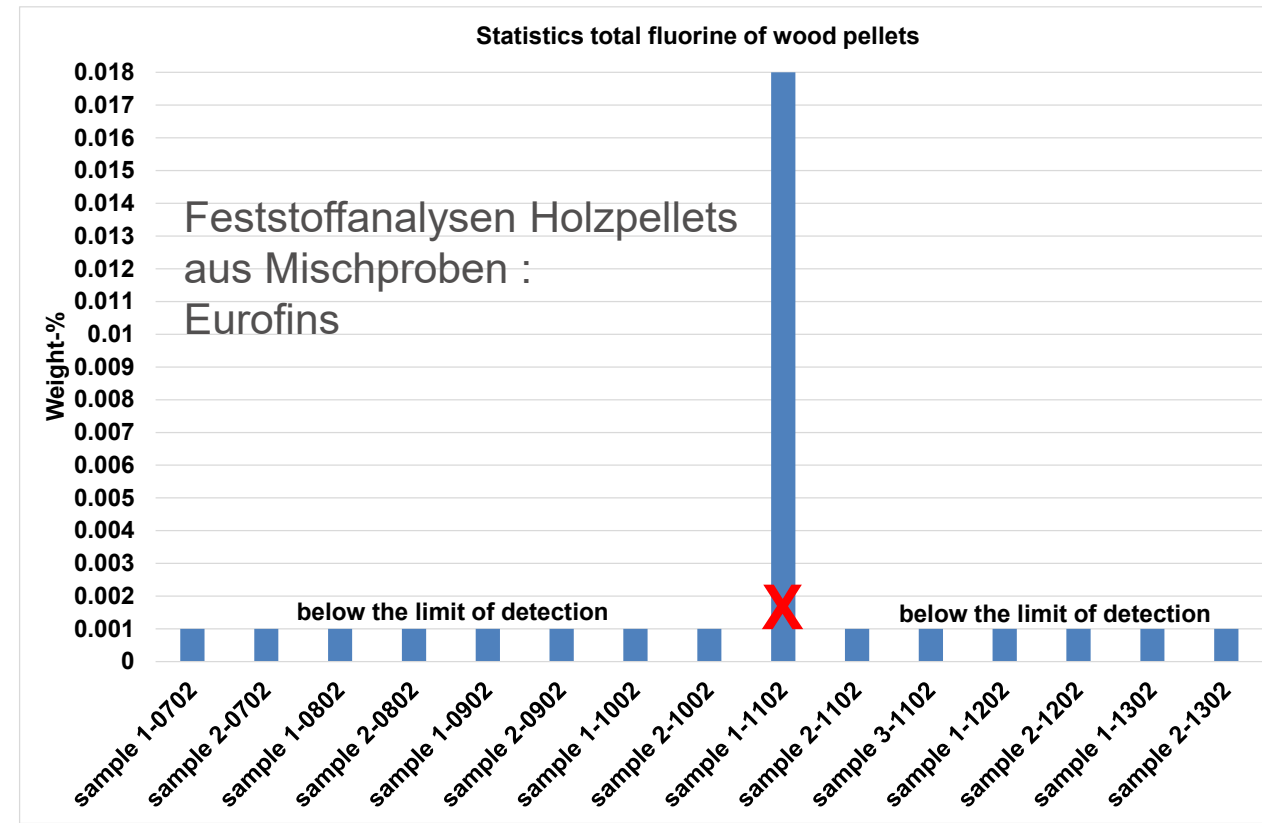
PFAS: LC-MS/MS, Intertek, SGS Fresenius; Flugstaubbeprobung nach VDI 2470
HF aus Kondensaten: Ionenchromatografie, Labor FM, KIT



- Drei Kampagnen zur Validierung der eingesetzten Messtechnik in 2017 und 2018 mit ausgewählten Spezies unterschiedlicher Konzentrationen
- Spike-Versuche im Analytiklabor – Wiederfindungsrate für C8 zwischen 70 und 110 %
- Beprobung isokinetisch und über dem Rohrquerschnitt minutenweise versetzt

Aufbau / Umbau von drei Laboren im ITC -Technikum, die im „Einbahnstraßenprinzip“
durchlaufen wurden; Personalaufwand im Labor: 9 Personen

FESTSTOFFANALYTIK



PTFE-Analyse:
REM-EDX, FT-IR:
Weber & Leucht GmbH

ANALYTIK

Fluorbestimmung aus Filterproben: Ionenchromatographie nach Hochfrequenz-Pyrohydrolyse: H.C. Starck
Gesamtkohlenstoffgehalt (TC) aus Filterproben: Landesamt für Umweltschutz Karlsruhe

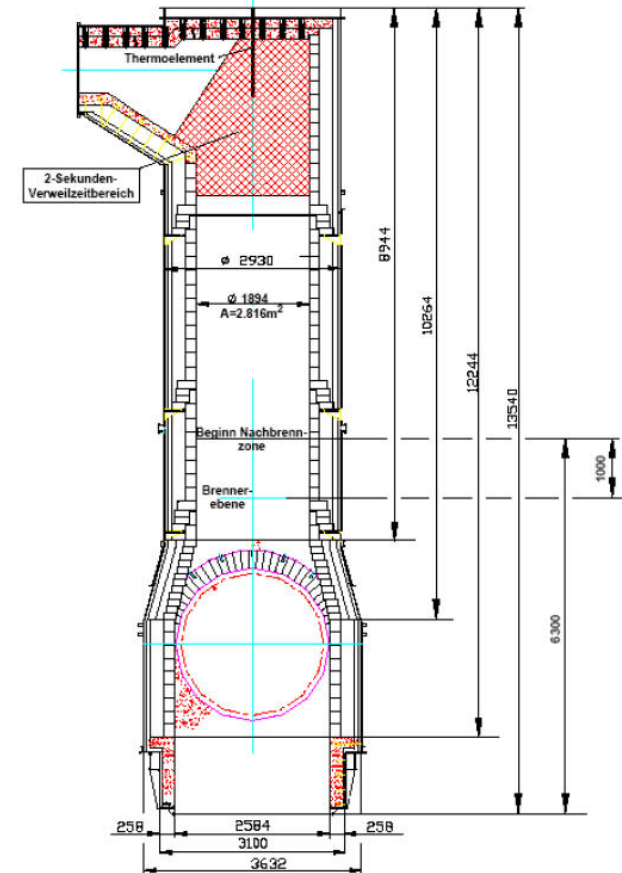
VERSUCHSPROGRAMM

- Optimale Betriebseinstellung Drehrohr
- Immer paarweise Versuche bei „setting 1“ und „setting 2“ (Summe 6 Versuchstage)
 - Setting 1: 870°C bei 4 sec
 - Setting 2: 1020°C bei 2,7 sec
- Mindestens 5 Wiederholungen je Einstellung (Control und mit PTFE)
- Über Nacht Langzeitprobenahme für Flugstaubbeprobung und HF

		unit	setting S1	setting S2
Rotary kiln	mass flow wood pellets	kg/h	100	
	main air	Nm ³ /h	800	
	volume flow natural gas to burner D12	Nm ³ /h	50	
	volume flow combustion air to burner D12	Nm ³ /h	340	
	volume flow cooling air	Nm ³ /h	790	
	inclination	°	2	
	rotation speed	rev p.m.	0.6	
	temperature flue gas outlet	°C	800 - 850	
	thermal power	MW	1	

Vergasung Erdgas: $\lambda = 0,7$; Verbrennung Pellets: $\lambda = 2,5$;
Gesamtstöchiometrie Drehrohr 1,43

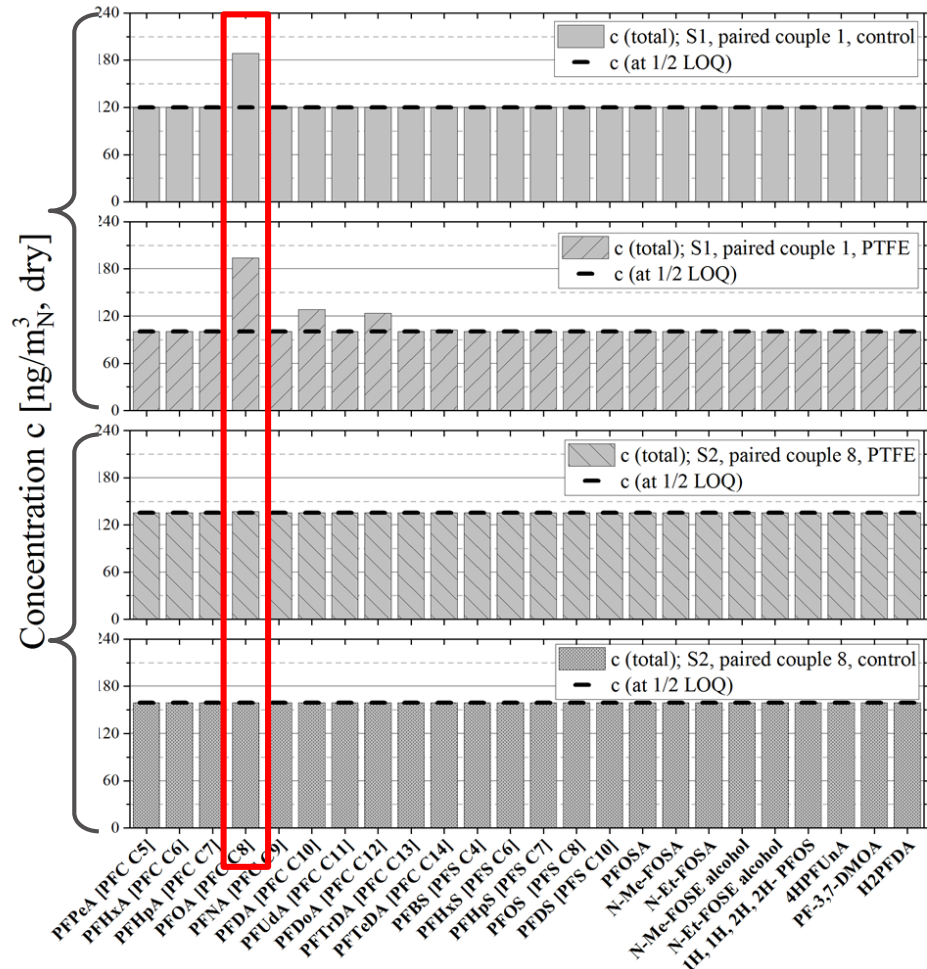
combustion chamber	volume flow natural gas to burner D4.1	Nm ³ /h	25	50
	sum of volume flow combustion air to burner D4.1	Nm ³ /h	800	1250
	volume flow natural gas to burner D4.2	Nm ³ /h	25	50
	sum of volume flow combustion air to burner D4.2	Nm ³ /h	800	1250
	residence time	s	4.0	2.7
	temperature flue gas post-combustion chamber outlet (with control)	°C	870	1020
	thermal power	MW	0.5	1



ERGEBNISSE - AUSWERTUNG

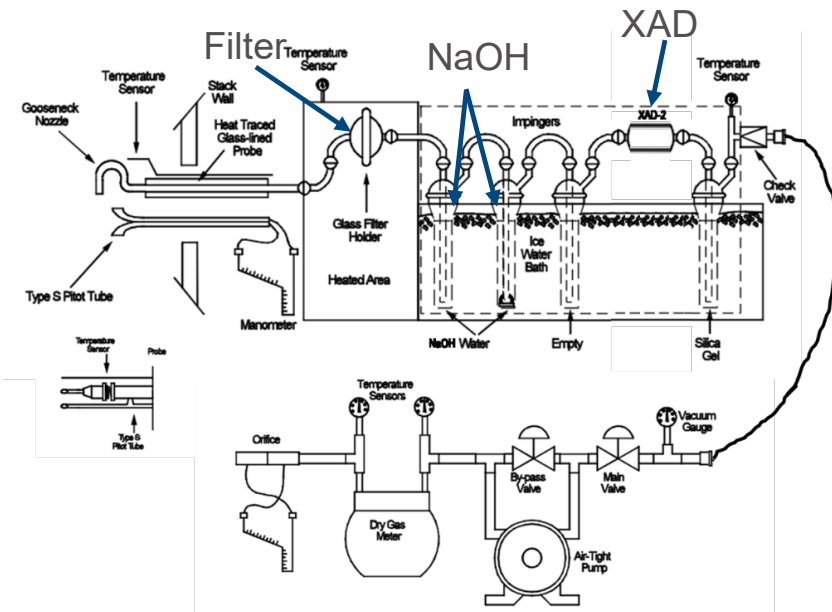
Paired Couple 1
(Setting 1)
Run 1: Control
Run 2: with PTFE

Paired Couple 8
(Setting 2)
Run 1: with PTFE
Run 2: Control



Gesamtkonzentrationen aus:

Quarzfilter
NaOH
MeOH Reinigungslösung
XAD-Harz



ERGEBNISSE (FÜR PFC-C8)

Ist $p > 0,05$, dann trifft die **Hypothese** zu, dass die **Differenzen zwischen Versuchen ohne und mit PTFE voneinander unabhängig** sind.

Setting	Paired Couple	Type	Concentration [ng/Nm³, dry]	Difference (PTFE-Control) [ng/Nm³, dry]	t-value	p-value
S1 4 sec 870°C	1	Control	189	5 10 70 84 -539	-0.624	0.564
		PTFE	194			
	2	PTFE	179			
		Control	169			
	3	PTFE	302			
		Control	232			
	4	Control	270			
		PTFE	354			
	5	Control	723			
		PTFE	184			
S2 2.7 sec 1020°C	6	Control	258	-70 487 -22 -2600 32 -272	-0.905	0.407
		PTFE	189			
	7	PTFE	644			
		Control	157			
	8	PTFE	137			
		Control	159			
	9	Control	2743			
		PTFE	143			
	10	PTFE	175			
		Control	143			
	11	Control	413			
		PTFE	141			

Mittelwert der Differenzen:

$$\bar{x} = \frac{1}{n} \cdot \sum x_i$$

Standardabweichung:

$$s = \sqrt{\frac{\sum(x_i - \bar{x})^2}{n}}$$

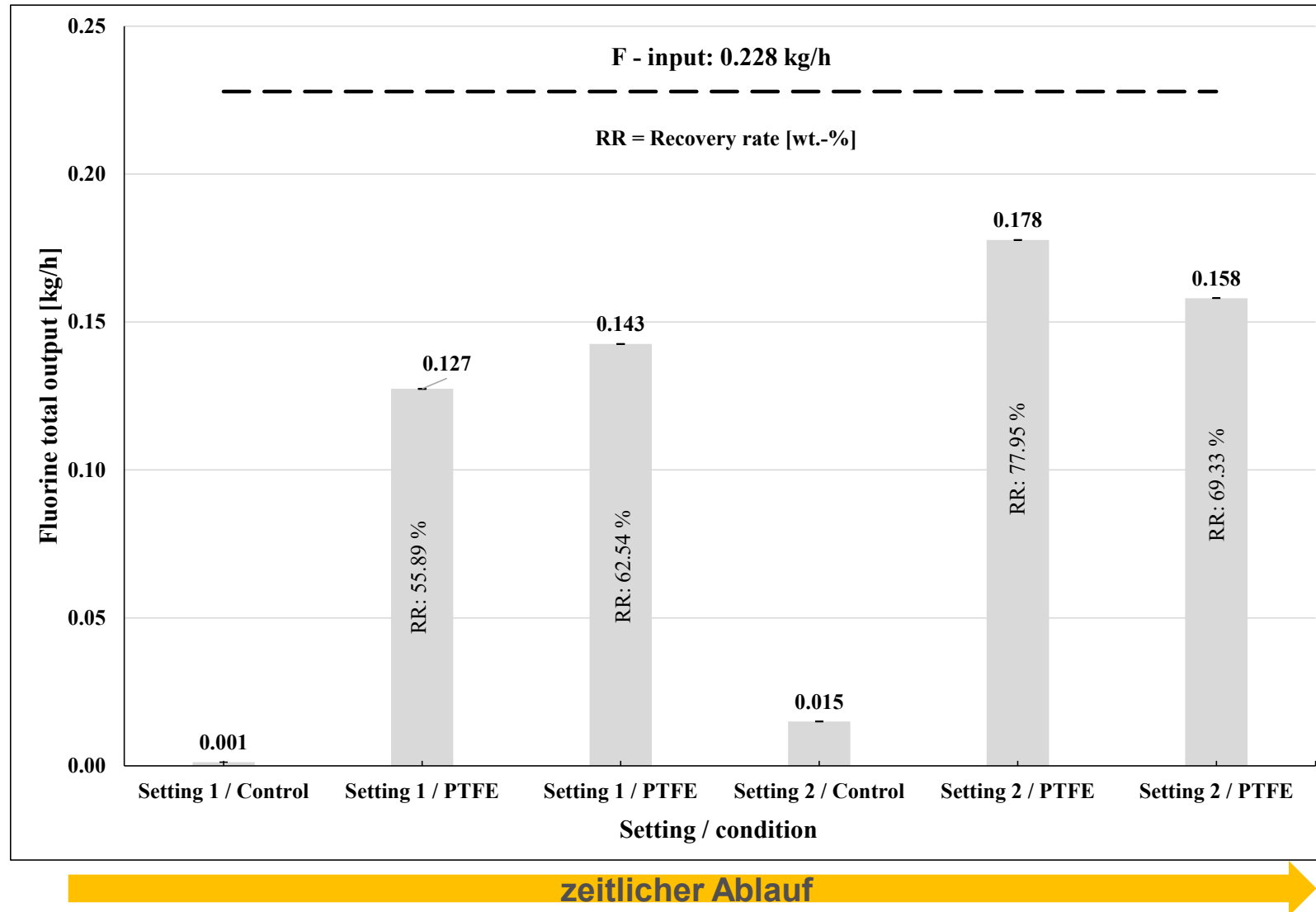
t-Wert:

$$t = \sqrt{n} \cdot \frac{\bar{x}}{s}$$

Aus dem t-Wert wird der p-Wert mit Hilfe einer statistischen Verteilung ermittelt.

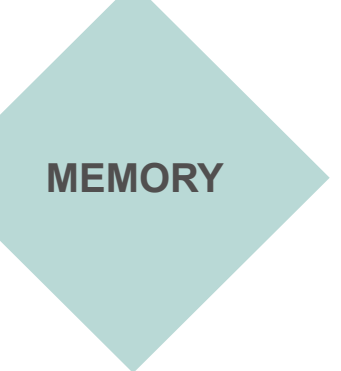
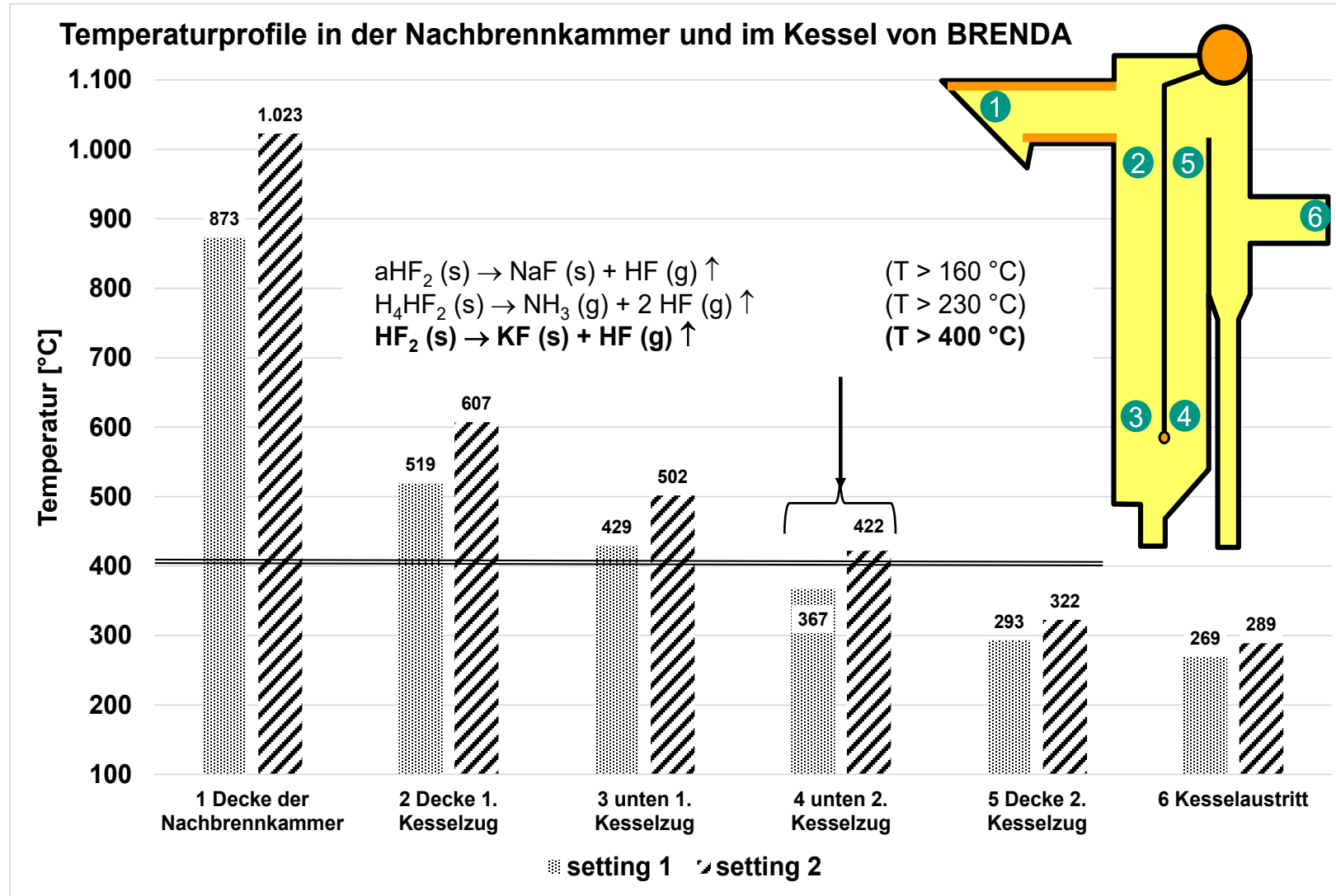


ERGEBNISSE (FLUORBILANZ)



F- Input =
PTFE + Holz =
F- Output =
 $F_{HF, \text{Abgas}} + F_{\text{Asche}} + \text{"Senke"}$

ERGEBNISSE (FLUORBILANZ)



ZUSAMMENFASSUNG

Bei der Verbrennung **von PTFE** unter Betriebsbedingungen gemäß 17. BImSchV wurde das Rohgas nach Kessel auf 31 PFAS analysiert:

- Dabei konnten nur **11 PFAS** quantifiziert werden.
 - Für **keine** dieser 11 PFAS sind **statistisch signifikante Konzentrationsunterschiede** für den Fall **mit und ohne PTFE-Dosierung** ermittelbar.
- Deshalb ist davon auszugehen, dass die **Abfallverbrennung keine Quelle für PFAS** ist.

Quellen:

Gore-Homepage:

<https://www.gore-tex.com/technology/responsibility/pfc-goal>

Paper in Chemosphere: <https://www.sciencedirect.com/science/article/pii/S0045653519306435>

Making of:

<https://www.youtube.com/watch?v=2u1pgUzCN9Q&feature=youtu.be>

DANKESCHÖN

The authors would like to thank **Lothar Sinn, Werner Baumann, Sonja Mülhopt, Sonja Oberacker, Timo Back, Christian Jünger, Kai Mannweiler, Helmut Reis, Alexander Neumaier, and Marvin Trauth** from KIT and **Fred Carter and Kenny Raughley** of W.L. Gore & Associates for help with experimental work; **Bernd Zimmerlin** and his **team from BRENDA** for operating 24 hours a day; **Siegfried Kreisz**, for his support regarding the chemistry of fluorides; **Catherine Parmeter, Markus Weiser, Rainer Kasemann, Sebastian Bauer** of W.L. Gore & Associates for technical assistance; **Jochen Hirschfeld** for photography.

The authors would also like to thank the many **academic and industry experts** who provided guidance in the development of the study plan.